

**АКАДЕМИЯ НАУК СССР  
УРАЛЬСКИЙ НАУЧНЫЙ ЦЕНТР  
ИНСТИТУТ МАТЕМАТИКИ И МЕХАНИКИ**

**АЛГОРИТМЫ И ПРОГРАММЫ  
РЕШЕНИЯ ЛИНЕЙНЫХ  
ДИФФЕРЕНЦИАЛЬНЫХ ИГР**

**(Материалы по математическому обеспечению ЭВМ)**

Свердловск 1984

АКАДЕМИЯ НАУК СССР  
УРАЛЬСКИЙ НАУЧНЫЙ ЦЕНТР  
ИНСТИТУТ МАТЕМАТИКИ И МЕХАНИКИ

АЛГОРИТМЫ И ПРОГРАММЫ РЕШЕНИЯ ЛИНЕЙНЫХ  
ДИФФЕРЕНЦИАЛЬНЫХ ИГР

(материалы по математическому обеспечению ЭВМ)

Свердловск, 1984

УДК 519.9

Алгоритмы и программы решения линейных дифференциальных игр (материалы по математическому обеспечению ЭВМ).  
Свердловск: УНЦ АН СССР, 1984.

Брошюра содержит набор алгоритмов и программ, предназначенных для решения некоторых типов линейных дифференциальных игр.

Материал рассчитан на вычислителей, инженеров и научных работников, интересующихся численными методами теории управления и теории дифференциальных игр.

Ответственные редакторы -

доктор физ.-мат. наук

А. И. Субботин

кандидат физ.-мат. наук

В. С. Пашко



УНЦ АН СССР, 1984

A ————— 20204-214(83) ————— БО  
055(02) 7

Н.Д.Боткин, М.А.Зарх

ОЦЕНКА ПОГРЕШНОСТИ ПОСТРОЕНИЯ МНОЖЕСТВА  
ПОЗИЦИОННОГО ПОГЛОЩЕНИЯ В ЛИНЕЙНОЙ ДИФ-  
ФЕРЕНЦИАЛЬНОЙ ИГРЕ

I. Постановка задачи

Рассмотрим линейную антагонистическую дифференциальную игру

$$\begin{aligned} \dot{x} &= Ax + Bu + Cv, \quad x \in R^n \\ u &\in (\mu_1 + \mu_2 t)P, \quad v \in (\nu_1 + \nu_2 t)Q, \quad x(0) \in M \end{aligned} \tag{I}$$

двоих лиц с фиксированным моментом окончания  $\vartheta$ . Здесь  $x$  - фазовый вектор,  $A$ ,  $B$ ,  $C$  - постоянные матрицы размерностей  $n \times n$ ,  $n \times p$ ,  $n \times q$  соответственно,  $u$ ,  $v$  - управления первого и второго игроков,  $P \subset R^p$ ,  $Q \subset R^q$  - выпуклые многогранники,  $\mu_1$ ,  $\mu_2$ ,  $\nu_1$ ,  $\nu_2$  - действительные константы. Предположим, что целевое множество  $M$  - выпуклое и цилиндрическое по всем координатам за исключением двух выделенных с номерами  $z$  и  $s$ .

Более точно

$$M = \{x \in R^n : (x^{(z)}, x^{(s)}) \in M'\},$$

где  $M^{\prime}$  - выпуклое компактное множество из  $R^2$ . Цель первого игрока - обеспечить в момент  $\vartheta$  попадание фазового вектора  $x$  на множество  $M$ . Интересы второго игрока противоположны.

Обозначим через  $W$  множество позиционного поглощения для игры (I), т.е. множество всех начальных позиций  $(t, x)$ , из которых первый игрок может решить стоящую перед ним задачу при помощи позиционного способа управления. Для произвольного  $t < \vartheta$  положим

$$W(t) = \{x \in R^n : (t, x) \in W\}$$

и назовем это множество сечением  $W$  в момент  $t$ . При помощи преобразования  $\dot{x}(t) = X_{z,s}(\vartheta, t)x(t)$ , где  $X_{z,s}(\vartheta, t)$  матрица, составленная из  $z$ -ой и  $s$ -ой строк фундаментальной матрицы Коши  $X_{z,s}(\vartheta, t) = \exp A(\vartheta - t)$ , перейдем к эквивалентной [5, 6] дифференциальной игре

$$\begin{aligned} \dot{z} &= u + v, \quad z \in R^2 \\ u \in P(t), \quad v \in Q(t), \quad z(\vartheta) &\in M' \end{aligned} \tag{2}$$

Здесь

$$P(t) = (\mu_1 + \mu_2 t) X_{z,s}(\vartheta, t) B P,$$

$$Q(t) = (\vartheta_1 + \vartheta_2 t) X_{z,s}(\vartheta, t) C Q.$$

Между множеством  $W$  и множеством  $W'$  позиционного поглощения для игры (2) имеется связь

$$W(t) = \{x \in R^n : X_{\vartheta, t} x \in W'(t)\}.$$

В настоящем сборнике приведены два алгоритма численного построения сечений множества  $W'$  (работы [1, 4]). В каждом из них игра (2) подменяется аппроксимирующей игрой

$$\begin{aligned} \dot{x} &= u + v, \quad x \in R^2 \\ u &\in P^2(t), \quad v \in Q^2(t), \quad x(\vartheta) \in M^2, \end{aligned} \tag{3}$$

где

$$P^2(t) = P^2(t_k), \quad Q^2(t) = Q^2(t_k), \quad t \in (t_{k+1}, t_k],$$

$$t_0 = \vartheta, \quad t_{k+1} = t_k - \Delta, \quad k = 0, 1, 2, \dots,$$

$\Delta$  – шаг разбиения полуоси  $t \leq \vartheta$ , целевое множество  $M^2$  – выпуклый многоугольник, аппроксимирующий  $M'$ . Для игры (3) строится набор  $W^2(t_k)$ ,  $k = 0, 1, \dots$ , сечений множества позиционного поглощения. Множества  $W^2(t_k)$  принимаются за приближенное значение сечений  $W'(t_k)$ .

Возникает следующая задача. Задан момент  $t_* \in \{t_k\}$ . Требуется оценить хаусдорфово расстояние  $h(W^2(t_*), W^2(t_{k+1}))$  между множествами  $W^2(t_*)$ ,  $W^2(t_{k+1})$ . Напомним, что хаусдорфово расстояние между двумя ограниченными замкнутыми множествами  $A_1, A_2$  на плоскости определяется по формуле

$$h(A_1, A_2) = \max \{ \varepsilon_1, \varepsilon_2 \} ,$$

где

$$\varepsilon_1 = \min \{ \varepsilon \geq 0 : A_1 \subset A_2 + \varepsilon S \} ,$$

$$\varepsilon_2 = \min \{ \varepsilon \geq 0 : A_2 \subset A_1 + \varepsilon S \} ,$$

$S$  - единичный замкнутый круг с центром в начале координат.

В статье представлена программа, которая выполняет переход от игры (I) к игре (3), строит по алгоритму из работы [4]  $W^2(t_*)$  и вычисляет оценку хаусдорфова расстояния между  $W^1(t_*)$  и  $W^2(t_*)$ . Исходными данными для описываемой программы являются матрицы  $A, B, C$ , вершины многогранников  $P, Q$ , вершины многоугольника  $M^2$ , число  $\delta$ , оценивающее сверху расстояние  $h(M^1, M^2)$ , момент окончания игры  $\vartheta$ , шаг  $\Delta$ , число  $\tau_* = \vartheta - t_*$ , константы  $\mu_1, \mu_2, \gamma_1, \gamma_2$ . Кроме того, задается некоторая точка  $m \in \text{int } M^2$ , выбираемая так, чтобы радиус круга с центром в этой точке, вписанного в  $M^2$ , был наибольшим.

## 2. Описание алгоритма

Пусть  $m$  - точка из внутренности многоугольника  $M^2$ , символом  $\langle \cdot, \cdot \rangle$  обозначим скалярное произведение. Положим

$$R = \max \{r \geq 0 : m + r \cdot S \subset M^2\},$$

$$\delta = h(M^1, M^2),$$

$$\begin{aligned} H^i(t, \ell) &= \min_{u \in P^i(t)} \langle \ell, u \rangle + \max_{v \in Q^i(t)} \langle \ell, v \rangle, \quad i=1,2, \\ \beta &= \int_{t_*}^{t_*} \max_{|\ell|=1} |H^i(t, \ell) - H^j(t, \ell)| dt, \end{aligned} \quad (4)$$

$$\varepsilon = (\beta + \delta)/R,$$

$$M_\varepsilon^2 = (1-\varepsilon)(M^2 - m) + m.$$

Пусть  $W_\varepsilon^2(t_*)$  — сечение множества позиционного поглощения для игры (3) с целевым множеством  $M_\varepsilon^2$  вместо  $M^2$ . Для оценки хаусдорфова расстояния между  $W^2(t_*)$  и  $W_\varepsilon^2(t_*)$  воспользуемся неравенством

$$h(W^2(t_*), W_\varepsilon^2(t_*)) \leq h(W^2(t_*), W^2(t_*)),$$

полученным в работах [2, 3]. Чтобы найти правую часть этого неравенства, необходимо выполнить следующие операции:  
 вычислить  $R$ ,  $\beta$  и  $\varepsilon$ , построить  $W^2(t_*)$  и  $W_\varepsilon^2(t_*)$ ,  
 вычислить  $h(W^2(t_*), W_\varepsilon^2(t_*))$ .

Вычисление  $R$ . Пусть выпуклый многоугольник  $M^2 \subset R^2$  задан вершинами  $m_1, m_2, \dots, m_k$ . Обозначим через  $\ell_i$  единичную внешнюю нормаль к  $i$ -ой стороне  $M^2$ . Расстояние от точки  $m$  до прямой, проходящей через  $i$ -ую сто-

рону, равно  $\langle \ell_i, m_i - m \rangle$ , а искомая величина находится по формуле

$$R = \min_{1 \leq i \leq k} \{ \langle \ell_i, m_i - m \rangle \}.$$

Вычисление  $\beta$ . Обозначим через  $\psi$  подинтегральную функцию в формуле (4). Для вычисления  $\psi(t)$ , найдем прежде всего вершины выпуклых многоугольников  $P^1(t)$ ,

$Q^1(t)$ ,  $P^2(t)$ ,  $Q^2(t)$ . Отыскание вершин каждого из этих многоугольников сводится к решению следующей вспомогательной задачи. Данны точки  $a_1, a_2, \dots, a_n$  из  $R^2$ . Требуется выделить и упорядочить те из них, которые являются вершинами выпуклого многоугольника  $co\{a_1, a_2, \dots, a_n\}$ . Здесь  $"co"$  — символ выпуклой оболочки. Опишем алгоритм решения этой задачи.

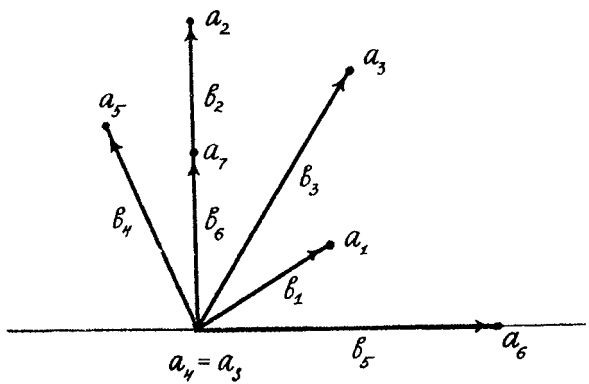
Пусть  $d = \min \{a_i^{(2)} : 1 \leq i \leq n\}$  и точка  $a_s = (a_s^{(1)}, a_s^{(2)})$  удовлетворяет соотношениям  $a_s^{(2)} = d$  и  $a_s^{(1)} = \min \{a_i^{(1)} : 1 \leq i \leq n, a_i^{(2)} = d\}$ . Для  $i = \overline{1, s-1}$  положим  $b_i = a_i - a_s$ , для  $i = \overline{s, n-1}$  пусть  $b_i = a_{i+1} - a_s$ . Все векторы  $b_i$  принадлежат полуплоскости  $\pi = \{(x^{(1)}, x^{(2)}) : x^{(2)} \geq 0\}$  (рис. I). Будем говорить, что пара векторов  $a$  и  $b$  упорядочена, если  $a$  левее  $b$ , т.е. поворот вектора  $a$  до сопаралленности с  $b$  по наименьшему углу осуществляется по часовой стрелке. С набором векторов  $b_1, b_2, \dots, b_{n-1}$  проделывается последовательность операций, состоящая из  $n-2$  шагов. Первый шаг состоит в том, что в случае неупорядоченности пары векторов  $b_1, b_2$ , они меняются местами, в случае упорядоченности

набор остается неизменным. После этого предельываются однотипные 2-й, 3-й, ...,  $n-2$ -й шаги. Опишем один такой шаг.

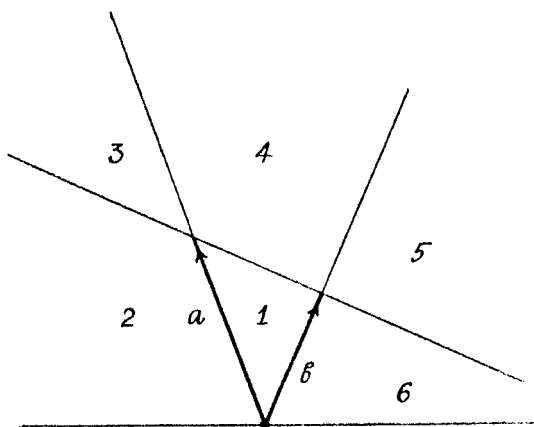
Рассмотрим тройку векторов  $a, b, c$ , где  $a$  и  $b$  – упорядоченная пара. Пусть  $d$  – вектор, стоящий в наборе вслед за  $a, b, c$ . В полуплоскости  $\pi$  выделям 6 зон, в которых может быть конец вектора  $c$ . Эти зоны показаны на рис. 2.

Если конец вектора  $c$  лежит в первой зоне, то вектор  $c$  из набора выбрасывается и переходим к следующему шагу, на котором будем рассматривать тройку  $a, b, d$ . Если конец  $c$  во второй зоне, то на месте тройки  $a, b, c$  в наборе становится тройка  $c, a, b$ . На следующем шаге рассматриваем тройку  $a, b, d$ . В случае, когда конец вектора  $c$  лежит в третьей зоне, вектор  $a$  выбрасывается, на его место ставится  $c$ . На следующем шаге рассматриваем тройку  $c, b, d$ . Если конец  $c$  в четвертой зоне, то  $b$  и  $c$  меняются местами. На следующем шаге рассматривается тройка  $c, b, d$ . Если конец  $c$  лежит в пятой зоне, то  $b$  выбрасывается из набора, на его место становится  $c$ . На следующем шаге рассматриваем тройку  $a, c, d$ . Когда конец вектора  $c$  находится в шестой зоне, то набор не меняем. На следующем шаге рассматриваем тройку  $b, c, d$ . Итак, дано описание одного шага последовательности. Осталось только указать, что начинается эта последовательность шагов с рассмотрения тройки  $b_1, b_2, b_3$ .

После  $n-2$ -го шага возможна одна из двух ситуаций:  
1) хотя бы на одном шаге конец вектора  $c$  не попал в шестую зону, 2) на каждом шаге конец вектора  $c$  попадал в шестую зону. В первом случае с полученным набором повторяется после-



Puc. 1



Puc. 2

довательность операций, содержание которых описано выше. Так действуем до тех пор, пока не придем к ситуации 2). Во втором случае ко всем векторам полученного набора прибавляется вектор  $a_3$ , а сама точка  $a_3$  приписывается последним элементом. Таким образом, получим набор искомых вершин многоугольника  $\{a_1, a_2, \dots, a_n\}$ , упорядоченных по часовой стрелке.

Определив вершины каждого из многоугольников  $P^1(t)$ ,  $P^2(t)$ ,  $Q^1(t)$ ,  $Q^2(t)$ , перейдем к вычислению  $\psi(t)$ .

Имеем

$$\begin{aligned}\psi(t) &= \max_{|\ell|=1} |H^1(t, \ell) - H^2(t, \ell)| = \\ &= \max_{|\ell|=1} |\max_{v \in Q^1(t)} \langle \ell, v \rangle + \min_{u \in P^1(t)} \langle \ell, u \rangle - \max_{v \in Q^2(t)} \langle \ell, v \rangle - \\ &\quad - \min_{u \in P^2(t)} \langle \ell, u \rangle| = \max_{|\ell|=1} |\max_{v \in Q^1(t)} \langle \ell, v \rangle - \max_{u \in -P^1(t)} \langle \ell, u \rangle - \\ &\quad - \max_{v \in Q^2(t)} \langle \ell, v \rangle + \max_{u \in -P^2(t)} \langle \ell, u \rangle|\end{aligned}$$

или

$$\begin{aligned}\psi(t) &= \max_{|\ell|=1} |\rho(\ell, Q^1(t)) - \\ &\quad - \rho(\ell, -P^1(t)) - \rho(\ell, Q^2(t)) + \rho(\ell, -P^2(t))|.\end{aligned}\tag{5}$$

Введем обозначение

$$\xi(t, \ell) = \rho(\ell, Q^1(t)) - \rho(\ell, -P^1(t)) - \rho(\ell, Q^2(t)) + \rho(\ell, -P^2(t)).$$

Пусть  $\{\ell_i\}$ ,  $i = \overline{1, k}$ , — упорядоченная совокупность единичных внешних нормалей, снятых с многоугольников  $Q^1(t)$ ,

$Q^2(t)$ ,  $-P^1(t)$ ,  $-P^2(t)$ . Перепишем формулу (5) в виде

$$\psi(t) = \max_{1 \leq i \leq k} \max_{\ell \in S_i} |\xi(t, \ell)|. \quad (6)$$

Здесь  $S_i = \{ \ell \in R^2 : |\ell| = 1, \ell = d_1 \ell_i + d_2 \ell_{i+1}, d_1, d_2 \geq 0 \}$ . Таким образом, вычисление  $\psi(t)$  сводится к вычислению  $\max \{ |\xi(t, \ell)| : \ell \in S_i \}$  для  $i = \overline{1, k}$ . Зафиксируем номер  $i$ . Используя определение дуги  $S_i$ , получаем существование такого элемента  $y \in R^2$ , что

$$\xi(t, \ell) = \langle \ell, y \rangle, \ell \in S_i. \quad (7)$$

Каждый единичный вектор  $\ell$  можно представить в виде  $\ell^{(1)} = \cos \varphi$ ,  $\ell^{(2)} = \sin \varphi$ . Пусть  $\varphi_1$  и  $\varphi_2$  таковы, что

$$(\ell_i^{(1)}, \ell_i^{(2)}) = (\cos \varphi_1, \sin \varphi_1),$$

$$(\ell_{i+1}^{(1)}, \ell_{i+1}^{(2)}) = (\cos \varphi_2, \sin \varphi_2).$$

Имеем

$$\max_{\ell \in S_i} |\xi(t, \ell)| = \max_{\varphi_2 \leq \varphi \leq \varphi_1} |y^{(1)} \cos \varphi + y^{(2)} \sin \varphi|.$$

Обозначим через  $\bar{\varphi} \in [0, \pi)$  решение уравнения

$$\frac{d}{d\varphi} (y^{(1)} \cos \varphi + y^{(2)} \sin \varphi) = 0.$$

Положим  $\bar{\ell} = (\cos \bar{\varphi}, \sin \bar{\varphi})$ . Тогда

$$\max_{\ell \in S_i} |\xi(t, \ell)| = \begin{cases} \max \{ \langle \ell_i, y \rangle, \langle \ell_{i+1}, y \rangle \}, & \text{если } \bar{\ell} \notin S_i, -\bar{\ell} \notin S_i, \\ \langle \bar{\ell}, y \rangle, & \text{если } \bar{\ell} \in S_i \quad \text{или } -\bar{\ell} \in S_i. \end{cases}$$

Перебрав теперь все  $i$ , найдем значение функции  $\psi(t)$  в точке  $t$ .

Число  $\beta$  находим по формуле численного интегрирования методом прямоугольников с шагом  $\sigma = \Delta/k$ :

$$\beta = \sigma \sum_{i=1}^{I_*} \sum_{j=0}^{k-1} \psi(t_i - \sigma \cdot j).$$

Здесь  $I_*$  — номер точки  $t_*$  в наборе  $\{t_i\}$ , т.е.  $t_* = t_{I_*}$ ,  $k$  — натуральное число.

Для построения множеств  $W^2(t_*)$ ,  $W_\varepsilon^2(t_*)$  используется стандартная программа, описанная в работе [4] настоящего сборника. Поскольку множества  $W^2(t_*)$ ,  $W_\varepsilon^2(t_*)$  выпуклы (в силу выпуклости множеств  $M^2$  и  $M_\varepsilon^2$ ), то для хандорфова расстояния между ними справедлива формула

$$\begin{aligned} h(W^2(t_*), W_\varepsilon^2(t_*)) &= \\ &= \max_{|\ell|=1} |\rho(\ell, W^2(t_*)) - \rho(\ell, W_\varepsilon^2(t_*))|. \end{aligned} \tag{8}$$

Формула (8) аналогична соотношению (5) для  $\psi(t)$ . Поэтому

для нахождения  $\lambda(W^2(t_*) , W_\varepsilon^2(t_*))$  используется алгоритм, подобный алгоритму вычисления  $\psi(t)$ .

### 3. Описание программы.

Переменные, используемые в программе

- $N$  - размерность фазовой переменной в игре (I),  
 $NB$  - размерность вектора управления  $u$ ,  
 $NC$  - размерность вектора управления  $v$ ,  
 $KV$  - количество вершин многогранника  $P$ ,  
 $KC$  - количество вершин многогранника  $Q$ ,  
 $ICT$  - номер первой из двух строк фундаментальной матрицы Коши, которые берутся для замены переменной,  
 $JCT$  - номер второй из этих двух строк,  
 $A(10,10)$  - двумерный массив, содержащий матрицу  $A$  системы (I),  
 $B(10,10)$  - двумерный массив, содержащий матрицу  $B$  системы (I),  
 $C(10,10)$  - двумерный массив, содержащий матрицу  $C$  системы (I),  
 $P(10,50)$  - двумерный массив, в котором содержатся координаты вершин многогранника  $P$ . Координатами  $J$ -ой вершины являются числа  $P(1,J), P(2,J), \dots, P(NB,J)$ ,  
 $Q(10,50)$  - двумерный массив, содержащий координаты вершин многогранника  $Q$ . Координатами  $J$ -ой вершины являются числа  $Q(1,J), Q(2,J), \dots, Q(NC,J)$ ,

- $DLINA$  - время окончания игры  $\vartheta$ ,  
 $TAYOS$  - длина промежутка времени  $\vartheta - t_*$ , где  
 $t_*$  - момент, для которого нужно получить оценку,  
 $SAG$  - шаг  $\Delta$ ,  
 $KT$  - целое число, задающее шаг интегрирования  $\delta = \Delta/KT$ ,  
 $DEL$  - хаусдорфово расстояние  $h(M^1, M^2)$ ,  
 $TT1$  - константа  $\mu_1$ ,  
 $TT2$  - константа  $\mu_2$ ,  
 $TT3$  - константа  $\nu_1$ ,  
 $TT4$  - константа  $\nu_2$ ,  
 $EM1$  - первая координата точки  $m \in int M^2$ ,  
 $EM2$  - вторая координата точки  $m$ ,  
 $KM$  - количество вершин многоугольника  $M^2$ ,  
 $DM1(300)$  - одномерный массив, содержащий первые координаты вершин  $M^2$ , упорядоченных по часовой стрелке,  
 $DM2(300)$  - одномерный массив, содержащий вторые координаты вершин  $M^2$ .

В процессе выполнения программы вычисляются: расстояние  $R$  от точки  $m$  до границы многоугольника  $M^2$  (переменная  $PAD$ ), многоугольник  $W^2(t_*)$  (первые и вторые координаты вершин  $W^2(t_*)$ , упорядоченных по часовой стрелке, содержатся в массивах  $W1$  и  $W2$  соответственно,  $KW$  - число вершин), многоугольник  $W_\varepsilon^2(t_*)$  (координаты его вершин содержатся в массивах  $WW1$ ,  $WW2$ , переменная  $KWW$  равна их числу), хаусдорфово расстояние  $h(W^2(t_*), W_\varepsilon^2(t_*))$  (переменная  $DS$ ).

В случае нормального окончания задачи, т.е. когда непусты множества  $W^2(t_*)$ ,  $W_\varepsilon^2(t_*)$ , на печать выдается запись

$TIME = \vartheta - t_*$ ,  $ESTIMATION = OS$ .

Если  $W^2(\tilde{t}) = \emptyset$  для некоторого момента  $\tilde{t} \in [t_*, \vartheta]$ , то печатается

$W EMPTY WHEN T = \vartheta - \tilde{t}$ .

Если  $W_\varepsilon^2(\tilde{t}) = \emptyset$  для некоторого момента  $\tilde{t} \in [t_*, \vartheta]$ , то печатается

$WW EMPTY WHEN T = \vartheta - \tilde{t}$ .

#### П о р я д о к в в о д а д а н н и х

Числовой материал вводится с перфокарт в следующем порядке:

1.  $N, NB, NC, KB, KC$  – по формату  $5I3$ ,
2.  $ICT, JCT$  – по формату  $2I3$ ,
3.  $A$  – по формату  $10F7.3$ . Элементы матрицы располагаются на перфокартах по строкам, т.е. в следующем порядке:  
 $A(1,1), A(1,2), \dots, A(1,N), A(2,1), A(2,2), \dots,$   
 $A(2,N), \dots, A(N,1), A(N,2), \dots, A(N,N)$ .
4.  $B$  – по формату  $10 F7.3$ . Элементы матрицы располагаются по строкам.
5.  $C$  – по формату  $10F7.3$ . Элементы матрицы располагают-

ся по строкам.

6.  $P$  - по формату  $10F7.3$ . Элементы матрицы располагаются по строкам.
7.  $Q$  - по формату  $10F7.3$ . Элементы матрицы располагаются по строкам.
8.  $DLINA$  - по формату  $F7.3$ .
9.  $TAYOS$  - по формату  $F7.3$ .
10.  $SAG$  - по формату  $F7.3$ .
11.  $KT$  - по формату  $I3$ ,
12.  $DEL$  - по формату  $F7.3$ ,
13.  $TT1, TT2, TT3, TT4$  - по формату  $4F7.3$ .
14.  $EM1, EM2$  - по формату  $2F7.3$ .

Задание целевого множества  $M^2$  оформлено в виде подпрограммы  $PAZB$ . Обращение к подпрограмме имеет вид

*CALL PAZB(OM1, OM2, KM).*

Последовательность операторов подпрограммы  $PAZB$  должна быть следующей:

```
SUBROUTINE PAZB(OM1, OM2, KM)
DIMENSION OM1(KM), OM2(KM)
...
RETURN
END
```

В ходе выполнения операторов, обозначенных тремя точками, массивам  $OM1$  и  $OM2$  должны присвоиться значения координат вершин многоугольника  $M^2$ . Вершины должны быть упорядочены по часовой стрелке. Константе  $KM$  присваивается

целое число, равное количеству вершин  $M^2$ .

#### П о д п р о г р а м м и

В процессе выполнения программы обращается к подпрограммам  $PA$ ,  $FINT$ ,  $WWW$ ,  $H$ .

Обращение к подпрограмме  $PA$  имеет вид

$CALL PA(X1, X2, N, R).$

Входные параметры:  $X1$  – массив первых координат вершин выпуклого многоугольника, содержащего начало координат (вершины упорядочены по часовой стрелке),  $X2$  – массив вторых координат вершин многоугольника,  $N$  – количество вершин многоугольника. Выходной параметр  $R$  равен радиусу максимального круга с центром в начале координат, вписанного в многоугольник.

Обращение к подпрограмме  $FINT$  имеет вид

$CALL LOADGO(A, B, C, P, Q, SAG, KT, TP, 1, N,$   
 $NB, KB, NC, KC, FI, TT1, TT2, TT3, TT4,$   
 $DLINA, 'FINT')$

Выходной параметр  $FI$  – массив значений интеграла в формуле (4) для значений  $t_*$ , заданных посредством массива  $TP$  ( $t_* = \vartheta - TP(I)$ ,  $I = 1, 2, \dots, NP$ ). Для поставленной задачи достаточно задать  $NP = 1$ ,  $TP(1) = \vartheta - t_*$  и сосчитать  $FI(1)$ . В процессе выполнения подпрограмма  $FINT$  обращается к подпрограммам  $BUBOP$  и  $TET$ .

Форма обращения к подпрограмме  $BUBOP$  следующая:

$CALL BUBOP(X1, X2, N, NN).$

Входные параметры:  $X1, X2$  – массивы первых и вторых координат  $N$  точек из  $R^2$ . На выходе в массивах  $X1$  и  $X2$  содержатся координаты упорядоченного набора вершин выпуклой оболочки этих  $N$  точек. Число  $NN$  – количество вершин выпуклой оболочки. Форма обращения к подпрограмме  $TET$  следующая:

*CALL TET(A1,A2,A3,A4,N1,N2,N3,N4,PEZ,BEK).*

Входные параметры  $A1, A2, A3, A4$  – двумерные массивы, соответствующие выпуклым многоугольникам  $A_1, A_2, A_3, A_4$  из  $R^2$  с  $N1, N2, N3, N4$  вершинами соответственно. Точка  $(A1(1,I), A1(2,I))$  – это  $I$ -я вершина многоугольника  $A_1$ . Смысл массивов  $A2, A3, A4$  аналогичный. Параметры  $PEZ$  и  $BEK$  – выходные. Число  $PEZ$  вычисляется по формуле (5) )

$$PEZ = \max_{|\ell|=1} |\rho(\ell, A_1) - \rho(\ell, A_2) - \rho(\ell, A_3) + \rho(\ell, A_4)|.$$

На векторе  $BEK$  достигается максимум в этой формуле. В процессе выполнения подпрограмма  $TET$  обращается к подпрограмме  $YX$  при помощи оператора

*CALL YX(P1, P2, B1, B2, T1, T2, TP, TB).*

Все параметры входные. Выходные параметры:  $TP$  и  $TB$ . Число  $TP$  вычисляется по формуле (6) и (7) )

$$TP = \max \{ TP, \max_{\ell \in S_i} |\xi(t, \ell)| \},$$

где  $(P1, P2) = \ell_i$ ,  $(B1, B2) = \ell_{i+1}$ ,  $(T1, T2) = y$ .  
На векторе  $TB$  достигается максимум.

Обращение к подпрограмме  $WWW$  имеет вид

```
CALL LOADGO(A,B,C,P,Q,SAG,EPS,TAYOS,  
OM1,OM2,KM,N,NB,KB,NC,KC,ICT,JCT,  
TT1,TT2,TT3,TT4,W1,W2,KW,WW1,WW2,  
KWW,EM1,EM2,'WWW').
```

Смысл всех параметров изложен выше. Выходные параметры:  $W1$ ,  $W2$ ,  $KW$ ,  $WW1$ ,  $WW2$ ,  $KWW$ . В процессе выполнения подпрограмма  $WWW$  обращается к подпрограмме  $CLOI$ , которая строит сечения множеств позиционного положения. Процедура  $CLOI$  – это оформленная в виде подпрограммы программа, описанная в статье [4] настоящего сборника. Обращение к подпрограмме  $CLOI$  имеет вид

```
CALL CLOI .
```

Обмен параметрами с подпрограммой  $CLOI$  осуществляется через общие блоки памяти с помощью операторов  $COMMON$ .  
Входные параметры:  $A, B, C, P, Q, N, NB, NC, KB, KC, MG, ICT, JCT, TAYOS, SAG, TT1, TT2, TT3, TT4, GB1, GB2$ . Выходные параметры  $GB1, GB2, MG$ . При первом обращении к подпрограмме  $CLOI$ ,  $GB1, GB2$  – массивы соответственно первых и вторых координат вершин многоугольника  $M^2$ , а на выходе – массивы первых и вторых координат вершин многоугольника  $W^2(t_*)$ .  
При втором обращении  $GB1$  и  $GB2$  – массивы первых и вторых координат вершин многоугольника  $M_\epsilon^2$ , а на выходе – массивы координат вершин многоугольника  $W_\epsilon^2(t_*)$ . Число

$MG$  - количество вершин многоугольника.

Обращение к подпрограмме  $H$  имеет вид

*CALL LOADGO(X1,X2,Y1,Y2,N,M,RO,RMAX,'H')*

Входные параметры:  $X1, X2$  - массивы первых и вторых координат вершин многоугольника  $X \subset R^2$ ,  $Y1, Y2$  - массивы первых и вторых координат вершин многоугольника  $Y \subset R^2$ . Вершины многоугольников должны быть упорядочены по часовой стрелке. Числа  $N, M$  - количество вершин многоугольников  $X$  и  $Y$  соответственно. Выходные параметры:  $RO$  - хаусдорфово расстояние  $h(X, Y)$ ,  $RMAX$  - вектор из  $R^2$ , на котором реализуется  $RO$  (см. (8)). В процессе выполнения подпрограмма  $H$  обращается к подпрограмме  $TH$  при помощи оператора

*CALL TH(A1,A2,B1,B2,P1,P2,Q1,Q2,TR0,TMAX)*

Подпрограмма вычисляет  $TR0$  по формуле

$$TR0 = \max \{ TR0, \max_{\ell \in \bar{S}} |\rho(\ell, X) - \rho(\ell, Y)|,$$

где

$$\bar{S} = \{ \ell \in R^2 : |\ell| = 1, \ell = \alpha_1(A1, A2) + \alpha_2(B1, B2), \alpha_1, \alpha_2 \geq 0 \},$$

$$\rho(\ell, X) = \ell^{(1)} P1 + \ell^{(2)} P2, \ell \in \bar{S},$$

$$\rho(\ell, Y) = \ell^{(1)} Q1 + \ell^{(2)} Q2, \ell \in \bar{S},$$

Все параметры входные. Выходные параметры:  $TR0$  и вектор  $TMAX$ , на котором реализуется  $TR0$ .

## О с о б е н н о с т и    п р о г р а м м и

I. Множества  $P(t_i)$  и  $Q(t_i)$  не должны быть точками.

2. Множество  $W(t_i)$  в программе считается пустым не только в тех случаях, когда оно действительно пусто, но и в тех, когда оно является точкой.

3. В программе *CLOI* задается целый параметр  $MDL$ . Если на каком-то шаге оказывается, что число всех нормалей, снятых с множества  $W(t_i)$ ,  $P(t_i)$ ,  $Q(t_i)$  превышает  $MDL$ , то множество  $W(t_i)$  заменяется в последующих вычислениях на близкое к нему множество с меньшим числом нормалей. Дальнейшие построения, а следовательно, и полученная оценка в этом случае будут неточны.

## К о н т р о л ь н ы й    п р и м е р

Дифференциальная игра второго порядка

$$\dot{x}_1 = x_2 + v$$

$$\dot{x}_2 = u$$

$$|u| \leq 1, |v| \leq 1, x(\vartheta) \in M^1$$

с моментом окончания  $\vartheta = 3$  и целевым множеством  $M^1 = \{x \in R^2 : |x| \leq 3\}$  после преобразования  $x(t) = X(\vartheta, t)x(\vartheta)$ , где

$$X(\vartheta, t) = \begin{pmatrix} 1 & \vartheta - t \\ 0 & 1 \end{pmatrix}$$

фундаментальная матрица Коши, приводится к виду

$$\dot{z} = u + v$$

$$u \in P^1(t) = \{z \in R^2 : z^{(1)} = (\vartheta - t)z^{(2)}, |z^{(2)}| \leq 1\},$$

$$v \in Q^1(t) = \{z \in R^2 : |z^{(1)}| \leq 1, z^{(2)} = 0\},$$

$$z(\vartheta) \in M^1.$$

Аппроксимирующую дифференциальную игру выберем следующим образом. Пусть  $t_i = 3 - 0.01 \cdot i$ ,  $i = 0, 1, \dots$  – разбиение промежутка  $t \leq 3$  с шагом  $\Delta = 0.01$ . Положим  $P^2(t) = P^1(t_i)$ ,  $t \in (t_{i+1}, t_i]$ , и  $Q^2(t) = Q^1(t)$ , поскольку  $Q^1(t)$  постоянно. Взяв в качестве  $M^2$  правильный 100-угольник, вписанный в  $M^1$ , рассмотрим игру

$$\dot{z} = u + v$$

$$u \in P^2(t), v \in Q^2(t), z(3) \in M^2.$$

Оценим расстояние  $h(W^1(t_*), W^2(t_*))$  для  $t_* = 2, 1, 0$ . Примем  $\sigma = \Delta/10$ ,  $m = (0, 0)$ . Результаты счета по программе равны соответственно: 0.007414, 0.015517, 0.024412. На рис. 3 представлены множества  $W^2(2)$ ,  $W^2(1)$ ,  $W^2(0)$ .

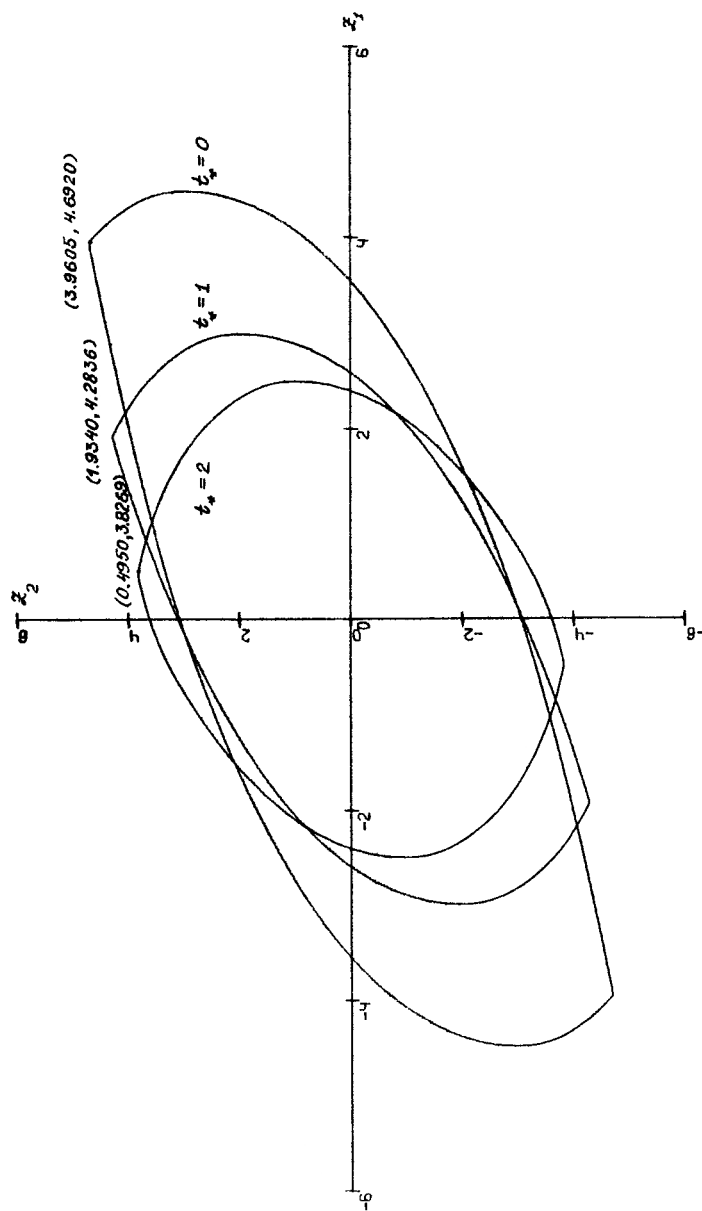
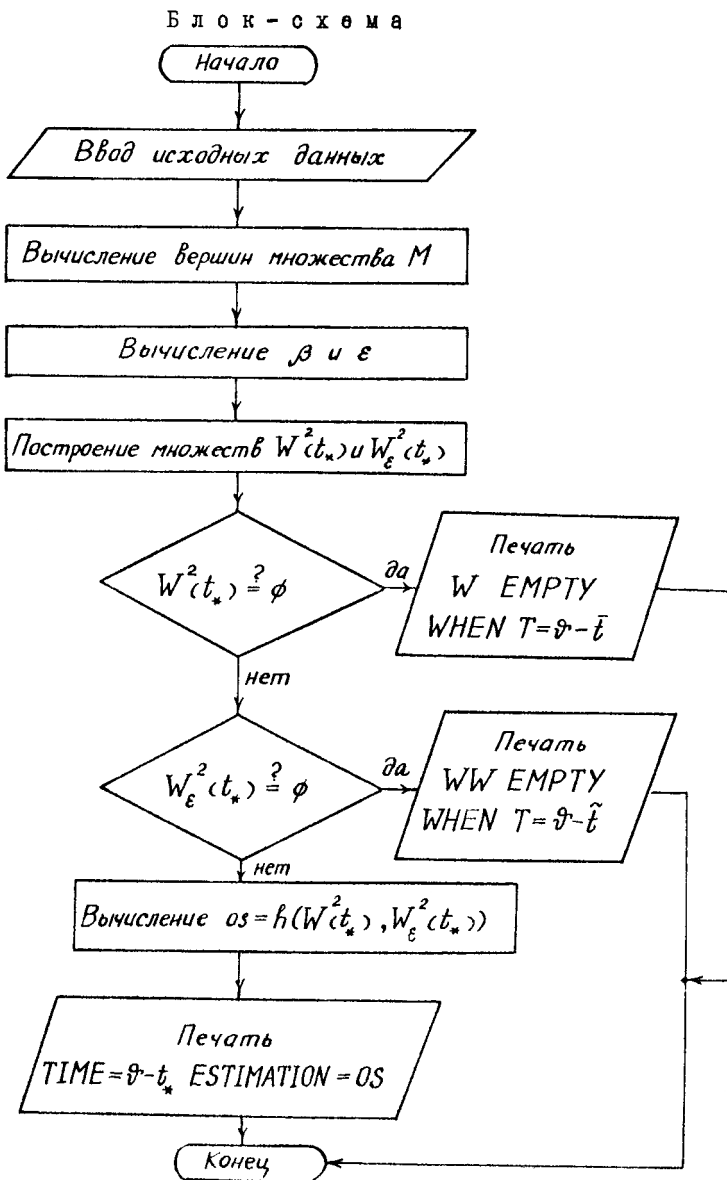


Fig. 3.



### ТЕКСТ ПРОГРАММЫ

```

PROGRAM PP
DIMENSION A(10,10),B(10,10),
C(10,10),P(10,50),Q(10,50),
OM1(300),OM2(300),W1(1000),
W2(1000),WW1(1000),WW2(1000)
,MAX(2),TP(10),FI(10)
COMMON/A/A,N
COMMON/TOB/TOBW,TOBWW,IL1,
IL2
FORMAT(10I3)
FORMAT(10F7.3)
READ I,N,NB,NC,KB,KC
READ I,ICT,JCT
READ2,((A(I,J),J=1,N),
I=1,N)
READ2,((B(I,J),J=1,NB),
I=1,N)
READ2,((C(I,J),J=1,NC),
I=1,N)
READ2,((P(I,J),J=1,KB),
I=1,NB)
READ2,((Q(I,J),J=1,KC),
I=1,NC)
READ2,DLINA
READ2,TAYOS
READ2,SAG
READ4,KT
READ2,DEL
READ2,TT1,TT2
READ2,EM1,EW
'1)=TAYC
PA
OM1(I)=OM1(I)+EM1
OM2(I)=OM2(I)+EM2
CALL LOADGO(A,B,C,P,Q,
SAG,KT,TP,1,N,NB,KB,NC,
KC,FI,TT1,TT2,TT3,TT4,
DLINA,'FINT')
BET=FI(1)/PAD
EPS=BET+DEL/PAD
EPS=EPS+DEL/PAD
777 CONTINUE
CALL LOADGO(A,B,C,P,Q,
SAG,EPS,TAYOS,OM1,OM2,
KM,N,NB,KB,NC,KC,TT1,
TT2,TT3,TT4,W1,W2,KW,
WW1,WW2,KWW,EM1,EM2,
DLINA,'WWW')
PRINT I00,KW
PRINT I01,(W1(I),I=1,KW),
(W2(I),I=1,KW)
100 FORMAT(I3)
101 FORMAT(5(4X,F7.3,2X,
F7.3))
IF(IL1.NE.0)GOTO30
PRINT3,TOBW
3 FORMAT(5X,15HW EMPTY
WHEN T= ,F7.4)
GOTO20
30 IF(IL2.NE.0)GOTO3
PRINT4,TOBWW
4 FORMAT(5X,16HWW EMPTY
WHEN = ,F7.4)
G
DGO(W1,W2
W,OS,R
OS,C
5

```

На стр. 62-79 идёт текст программы на Фортране.

## Л и т е р а т у р а

1. Боткин Н.Д. Численное построение сечений множества позиционного поглощения в линейной дифференциальной игре.- Наст. сборник.
2. Боткин Н.Д. Оценка погрешности численных построений в дифференциальной игре с фиксированным моментом окончания.- Пробл. управления и теории информ., 1982, т. II, № 4, с. 283-295.
3. Погрешность аппроксимации в дифференциальной игре./ Н.Д. Боткин; ИММ УНЦ АН СССР. Свердловск, 1983.- 31 с. Рукопись деп. в ВИНИТИ, II.04.83, № 1910-83. Дел.
4. Исакова Е.А., Логунова Г.В., Пацко В.С. Построение стабильных мостов в линейной дифференциальной игре с фиксированным моментом окончания.- Наst. сборник.
5. Красовский Н.Н., Субботин А.И. Позиционные дифференциальные игры.- М.: Наука, 1974.- 456 с.
6. Субботин А.И., Ченцов А.Г. Оптимизация гарантии в задачах управления.- М.: Наука, 1981.- 288 с.